\$ 进展与评述<sup>\$</sup>

# Mo(W)-Cu(Ag)-S 原子簇化合物的研究现状

侯红卫 郎建平 李纪国 忻新泉\* (南京大学化学系, 配位化学国家重点实验室, 210008)

本文在研究 Mo(W)-Cu(Ag)-S 原子簇化合物的低热固态合成化学基础上,详细地对该类簇合物进行了归纳,从中提出:

- 1.  $MO_{4-n}S_n^{2-}$  (M = Mo, W; n = 2, 3, 4) 作为配体中心。
- 2. 氧原子在簇合物中仅作为端基,不参与同其他金属成键。
- 3. 单个 MS<sub>4</sub>(M = Mo, W)基团最多只能键合六个 Cu(Ag)原子, 即最大核数为七。
- 4. 迄今为止所有 Mo(W)-Cu-S 原子簇化合物中 Cu 均为+1 价。
- 5. 预计含低价态 Mo(W)的这类簇合物将会有很大进展。

关键词: Mo(W)-Cu(Ag)-S 簇合物

## 前言

原子簇化合物是无机化学的边缘学科,它在理论和某些应用方面都处于化学学科的前沿,而 Mo(W)—Cu(Ag)—S 簇合物由于其结构的多样性、催化性能、生物活性及作为新型材料等重要应用前景格外引人注目。至今已报道的这类簇合物已有一百六十余个,它们大都是在液相合成。近年来,我们实验室开创了一种与众不同的低热固相合成方法,该方法简述如下:

将一定量的硫代钼酸盐(或硫代钨酸盐)和 Cu(Ag)的化合物及(n-Bu)₄NBr 或 PPh₃等混合研细,移入一反应管中,一般控温在 90℃左右,氨气保护下反应数小时,然后选择适当溶剂萃取,过滤,滤液上通常加入某种扩散剂(如异丙醇),放置数日,可得到簇合物的晶体。

此方法同液相和高温固相合成法相比,有几个明显的优点:

1. 能得到一些独特的簇合物,如:

$$(NH_4)_2MoS_4+CuCN+Bu_4NB_1\frac{95C}{N_2}[Bu_4N]_4[Cu_{12}Mo_8S_{32}]^{[1]}$$

2. 该方法也适用于配合物及其他类型化合物的合成。

$$(NH_4)_8[SiW_{11}O_{39}] \cdot 13H_2O + As_2O_3 + Bu_4NBr\frac{80C}{Ar}H_2[Bu_4N]_3[As(SiW_{11}O_{39})]^{[2]}$$

3. 同高温固相反应相比, 反应温度低, 甚至室温即可。

本文于1993年11月5日收到。

<sup>\*</sup> 通讯联系人。

- 4. 高温固相反应所得到的是三维或二维网状的无机聚合物结构<sup>[4]</sup>,而本方法所得到的产物结构接近于液相反应的产物。
- 5. 仪器简单,操作方便,反应周期短,速度快。本实验室用此方法已合成出近百个 Mo(W)-Cu(Ag)-S 簇合物,其中已解出五十余个晶体结构<sup>[5]</sup>。

近年来,我们实验室较为详细的研究了温度等因素对固相成簇反应的影响;用电导,DSC及 DTA等手段探讨了固相反应机理;用IR,XRD和UV等方法证实了低温固相反应的可靠性。该方法缺点是产率低。

目前报道的 Mo(W)-Cu(Ag)-S 簇合物约有一百六十余个,国内外许多学者已有一些综述报道 $^{[5-8]}$ 。我们在对该类簇合物研究基础上,根据 Mo(W)在簇合物中的个数分为: 单 Mo(W)的簇合物,双 Mo(W)的簇合物和多 Mo(W)的簇合物。

## Mo(W)-Cu(Ag)-S 原子簇化合物的结构分类

- 一. 单 Mo(W)和 Cu(Ag)形成的簇合物
  - 1. 双核[一个 Mo(W), 一个 Cu(Ag)]

 $MO_{4-n}S_n^{2-}(M=Mo, W; n=2, 3, 4)$  上加一个 M'L 基团(M'=Cu, Ag)\* 只形成一种线性结构(图 1),即  $MO_{4-n}S_n^{2-}$  以双齿配体与 M'配体。这类化合物有[(CNCu)MoS<sub>4</sub>]<sup>2-[9]</sup>,[Cu(SPh)MoS<sub>4</sub>]<sup>2-</sup>,[Cu(S-C<sub>6</sub>H<sub>4</sub>-P-Me)MoS<sub>4</sub>]<sup>2-</sup>,[(AgCN)MS<sub>4</sub>]<sup>2-</sup>,[(CNCu)MOS<sub>3</sub>]<sup>2-</sup>,[(PhSCu)MoO<sub>2</sub>S<sub>2</sub>]<sup>2-[10]</sup>,[NCSCuMoS<sub>4</sub>]<sup>2-</sup>,[( $\sigma$ -phen)CuMS<sub>4</sub>]<sup>2-[7]</sup>,[MoO<sub>2</sub>S<sub>2</sub>Cu{(NH<sub>2</sub>)<sub>2</sub>CS}]<sup>[11]</sup>,[CNCuMoOS<sub>3</sub>]<sup>2-</sup> • 0.5H<sub>2</sub>O,[NH<sub>4</sub>CuMS<sub>4</sub>]以及[-AgMS<sub>4</sub> •  $\gamma$ -MepyH-]<sub>n</sub>,[-AgMoS<sub>4</sub> •  $\alpha$ -MepyH-]<sub>n</sub><sup>[12]</sup>。

2. 三核[一个 Mo(W), 二个 Cu(Ag)]

二个 M'L 加到  $MO_{4-0}S_n^{2-}$  上有二种结构骨架,一种是  $MS_4^{2-}$  以四齿配体与二个 M'成键, M'-M-M'=180°, 骨架结构如图 2. 两个 M'星现出相同配位环境的簇合物  $[(o-phen)_2Cu_2MS_4]^{[7]}$ ,  $[Cu_2Cl_2WS_4]^{2-[13]}$ ,  $[Cu_2(SPh)_2MoS_4]^{2-}$ ,  $[Cu_2(NCS)_2WS_4]^{2-[14]}$ ,  $[Cu_2(C_6H_5CS_2)_2MoS_4]^{2-}$ ,  $[Cu_2Br_2MoS_4]^{2-[8]}$ ,  $[Cu_2(CN)_2MoS_4]^{2-[9]}$ ,  $[(CN)_2Cu_2MS_4]^{2-}$  中  $H_2O$ ,  $[(PPh_3)_4$   $Ag_2MS_4$ ],  $[(PMePh_2)_4Ag_2MS_4]^{[15]}$ ,  $[py_2CuS_2MoS_2Cupy_2]^{[16]}$  和  $[WS_4Cu_2(PPh_3)_4]$  中  $Py_2CuS_2MoS_2Cupy_2$ ]  $Py_2CuS_2MoS_2$   $Py_2CuS_2MoS_2$   $Py_2CuS_2MoS_2$   $Py_2CuS_2MoS_2$   $Py_2CuS_2MoS_2$   $Py_2CuS_2MoS_2$   $Py_2CuS_2$   $Py_2CuS$ 

第二类骨架结构如图 3,MOS<sub>3</sub><sup>2-</sup>以三齿配体与两个 M′成键,M′-M-M′~90°, 此类簇合物都含端基氧,有[MOS<sub>3</sub>Cu<sub>2</sub>(PPh<sub>3</sub>)<sub>3</sub>], [MOS<sub>3</sub>Cu<sub>2</sub>(PPh<sub>3</sub>)<sub>3</sub>] • 0.8CH<sub>2</sub>Cl<sub>2</sub>, [MOS<sub>3</sub>Ag<sub>2</sub> (PPh<sub>3</sub>)<sub>3</sub>]<sup>[19]</sup>, [(PPh<sub>3</sub>)<sub>2</sub>MoOS<sub>3</sub>AgCu(CN)]<sup>-[18]</sup>, [(PhSCu)<sub>2</sub>MOS<sub>3</sub>]<sup>2-</sup>和[MOS<sub>3</sub>(CuNCS)<sub>2</sub>]<sup>2-[20]</sup>.

3. 四核[一个 Mo(W), 三个 Cu(Ag)]

根据 M'键合到  $MO_{4-n}S_n^{2-}$  的相对位置可分为三类骨架结构:

第一类是 MS<sub>4</sub> 以四齿配体与三个 M′配位,因此,此类簇合物没有端基氧或硫(见图 4),化合物有[Cu<sub>3</sub>Cl<sub>3</sub>(MS<sub>4</sub>)]<sup>2-</sup>, [Cu<sub>3</sub>Br<sub>3</sub>(WS<sub>4</sub>)]<sup>2-</sup>, [Cu<sub>3</sub>I<sub>3</sub>MoS<sub>4</sub>]<sup>2-[10]</sup>。用双齿配体也可得到此骨架簇合物: [MCu<sub>3</sub>S<sub>4</sub>(S<sub>2</sub>CNEt<sub>2</sub>)<sub>3</sub>]<sup>[21]</sup>, [MoCu<sub>3</sub>S<sub>4</sub>(S<sub>2</sub>CNC<sub>5</sub>H<sub>10</sub>)<sub>3</sub>]<sup>2-</sup> · DMF 和

<sup>\*</sup> 注: 以后若未加说明, M=Mo, W; M'=Cu, Ag; n=2, 3, 4

[Cu<sub>3</sub>MS<sub>4</sub>(dtcC<sub>5</sub>H<sub>10</sub>)<sub>3</sub>]<sup>2-[22]</sup>。而[NEt<sub>4</sub>]<sub>2</sub>[Cu<sub>3</sub>(NCS)<sub>3</sub>WS<sub>4</sub>]<sup>[23]</sup>是通过 Cu( μ<sub>2</sub>-NCS)<sub>2</sub>Cu 桥联成一维聚合物。[Cu<sub>3</sub>MoS<sub>4</sub>(PPh<sub>3</sub>)<sub>4</sub>CN] 中三个 Cu 原子呈现不对称配位。

第二类骨架结构为鸟巢状的缺顶类立方烷(图 5)。 簇合物都含 MOS<sub>3</sub> 基团,有  $[(ClCu)_3MOS_3]^{2-}$ , $[(CuNCS)_3MOS_3]^{2-}$ ,后者在晶体中由于  $Cu(\mu_2-NCS)_2Cu$  桥联成二聚物;簇合物 $[Cu_3S_3W(S_2COEt)(O)(PPh_3)_3]$ ,配体  $S_2COEt$  中一个 S 与二个 Cu 配位。另一个 S 与一个 Cu 配位。

在缺顶的类立方烷上再加入额外配体 X. 即形成第三类骨架结构闭合的类立方烷(图 6)。它们是低热固相合成的 [Cu<sub>3</sub>WS<sub>4</sub>Br](PPh<sub>3</sub>)<sub>3</sub>, [Cu<sub>3</sub>MoS<sub>4</sub>I](PPh<sub>3</sub>)<sub>3</sub>, [Ag<sub>3</sub>WS<sub>4</sub>Cl(PPh<sub>3</sub>)<sub>3</sub>]。 0.5P(S)Ph<sub>3</sub>。 3H<sub>2</sub>O, [Ag<sub>3</sub>WS<sub>4</sub>Br(PPh<sub>3</sub>)<sub>3</sub>]。  $H_2O^{[26]}$ , [Ag<sub>3</sub>MoS<sub>4</sub>I(PPh<sub>3</sub>)<sub>3</sub>]<sup>[25]</sup>, [MoS<sub>4</sub>Ag<sub>3</sub>I<sub>3</sub>Br]<sup>3-</sup>, [WS<sub>4</sub>Ag<sub>3</sub>Cl<sub>4</sub>]<sup>3-[27]</sup>, [MoOS<sub>3</sub>Ag<sub>3</sub>Br<sub>4</sub>]<sup>3-</sup>, [WS<sub>4</sub>Cu<sub>3</sub>Br<sub>4</sub>]<sup>3-</sup>, [MS<sub>4</sub>Ag<sub>3</sub>Br<sub>4</sub>]<sup>3-</sup>, [MoOS<sub>3</sub>Ag<sub>3</sub>I<sub>3</sub>Br]<sup>3-</sup>。液相合成的有[Cu<sub>3</sub>MS<sub>4</sub>Cl<sub>4</sub>]<sup>3-[28]</sup>, [Cu<sub>3</sub>(PPh<sub>3</sub>)<sub>3</sub>BrMS<sub>4</sub>], [Ag<sub>3</sub>MS<sub>4</sub>Cl(PPh<sub>3</sub>)<sub>3</sub>], [Cu<sub>3</sub>MS<sub>4</sub>Cl(PPh<sub>3</sub>)<sub>3</sub>], [MAg<sub>3</sub>S<sub>3</sub>Cl](O)(PPh<sub>3</sub>)<sub>3</sub> [29], [(PPh<sub>3</sub>)<sub>3</sub>(Cu<sub>3</sub>S<sub>3</sub>MoBr)(O)] • 0.5CH<sub>2</sub>Cl<sub>2</sub>, [Cu<sub>3</sub>(AsPh<sub>3</sub>)<sub>3</sub>ClMOS<sub>3</sub>]<sup>[7]</sup>, [MCu<sub>3</sub>S<sub>3</sub>Br](O)(PPh<sub>3</sub>)<sub>3</sub> 和[OMoCu<sub>3</sub>( $\mu_3$ —S)<sub>3</sub>( $\mu_3$ —Cl)(PPh<sub>3</sub>)<sub>3</sub>] • 2THF.

#### 4. 五核[一个 Mo(W), 四个 Cu(Ag)]

根据目前所合成的五核簇合物结构模式, $MS_4^2$  都是以四齿配体与金属配位,有二种骨架构型。第一种是在上述四核类立方烷上再加一个 M'L 基团,形成多一个面的类立方烷(图 7)。 化合物有 $[MS_4Cu_4Cl_3]^{3-[8]}$ ,由于 CuCl 配位的位置不同,它可以形成三种异构体。

第二种骨架是"开式"结构,其中母核部分[MS<sub>4</sub>Cu<sub>4</sub>]的五个金属近似地处于同一平面(图 8)。有关簇合物可通过 Cu( $\mu_2$ -Br)<sub>2</sub>Cu 桥形成线性多聚体的[Cu<sub>4</sub>Br<sub>4</sub>MoS<sub>4</sub>]<sup>2-[30]</sup>,通过 Cu( $\mu_2$ -Cl)<sub>2</sub>Cu 形成二聚体的[Cu<sub>4</sub>Cl<sub>4</sub>WS<sub>4</sub>]<sup>2-[31]</sup>,二维聚合物[Cu<sub>4</sub>(SCN)<sub>4</sub>MoS<sub>4</sub>]<sup>2-[32]</sup>,三维聚合物 [Cu<sub>4</sub>(SCN)<sub>4</sub>WS<sub>4</sub>]<sup>2-[23]</sup>,及 [py<sub>4</sub>Cu<sub>4</sub>(SCN)<sub>2</sub>MS<sub>4</sub>], [( $\gamma$ -pic)<sub>4</sub>Cu<sub>4</sub>(SCN)<sub>2</sub>MS<sub>4</sub>], [Cu<sub>4</sub>Br<sub>4</sub>WS<sub>4</sub>]<sup>2-</sup>和 [Cu<sub>4</sub>Cl<sub>4</sub>MoS<sub>4</sub>]<sup>2-</sup>。仅有一个簇合物[Cu<sub>4</sub>(SCN)<sub>5</sub>WS<sub>4</sub>]<sup>3-[23]</sup>,SCN 不对称的键合到 Cu 原子上,形成无限的直链。本实验室还合成了一系列"开式"结构的中性簇合物[MS<sub>4</sub>Cu<sub>4</sub>X<sub>2</sub>L<sub>6</sub>](X=Cl<sub>5</sub>Br,I,CN,SCN;L=py, $\gamma$ -Mepy),另外还有低热固相反应合成的[NEt<sub>4</sub>]<sub>4</sub>[MS<sub>4</sub>Cu<sub>4</sub>I<sub>6</sub>]和 [W<sub>6</sub>O<sub>19</sub>][WS<sub>4</sub>Cu<sub>4</sub>( $\gamma$ -Mepy)]。

### 5. 六核[一个 Mo(W); 五个 Cu(Ag)]

仅有一种骨架结构即双立方烷结构(如图 9),此结构的簇合物有[ $Cu_sCl_7MS_a$ ] $^{4-[33,34]}$ 和低热固相反应合成的[ $Cu_sBr_7WS_a$ ] $^{4-[35]}$ 。

#### 6. 七核[一个 Mo(W), 六个 Cu(Ag)]

七核簇合物骨架结构可视为  $MS_4$  四面体被  $Cu_6$  八面体包围而成的八面体簇骼(图 10)。 化合物 有  $[Cu_6Cl_9MoS_4]^{5-[36]}$ ,低热固相反应合成的有  $[-MS_4Cu_6Br_4(py)_4-]_n$  和  $[-WS_4Cu_6I_4\ (py)_4-]_n$ 。从骨架结构可看出, $MS_4^{2-}$  中六个 S-S 边都已配位金属,且每个 S 与三个 S 公和一个 S 成键,已不可能再配位另外的金属,因此,七核簇合物代表了单个 S 数的最大核数。

图 1 Fig.1

图 2 Fig.2

图 3 Fig.3

图 9 Fig.9

图 10 Fig.10

### 二. 含二个 Mo(W)的 Mo(W)—Cu(Ag)—S 簇合物

#### 1. 三核[二个 Mo(W), 一个 Cu(Ag)]

### 2. 四核[二个 Mo(W), 二个 Cu(Ag)]

此类簇合物具有类立方烷的骨架结构(图 12)。簇合物有 $[M_2Cu_2S_4(SCH_2CH_2S)_2](PPh_3)_2^{[38]}$ , $[Mo_2Ag_2S_4](TDT)_2(PPh_3)_2$  和 $[Cp_2Mo_2Cu_2Cl_2S_4]^{[39]}$ 。二个 M 和 M'分别处于立方体的四个交叉 顶点,其中 M 的表观氧化态是+5 价。

### 3. 五核[二个 Mo(W), 三个 Cu(Ag)]

 $[Bu_4N]_2[M_2Ag_3(\mu_3-S)_2(\mu-S)_4S_2Et_2dtc]$ 和 $[Bu_4N]_2[W_2Ag_3S_8(C_6H_5CSS)]^{[40]}$ 是仅有的几个五核化合物,骨架结构见(图 13)。五个金属原子形成一个五员环,二个硫原子在五员环内分别与三个金属配位,四个硫作为四个 M—Ag 的桥基,另二个硫原子作为端基键合于二个 M 上。

### 4. 六核[二个 Mo(W), 四个 Cu(Ag)]

骨架结构为闭式的双立方烷(如图 14). 二个 M 原子都有端基硫或氧原子。化合物为 [Ag<sub>4</sub>W<sub>2</sub>S<sub>8</sub>](PPh<sub>2</sub>Me)<sub>4</sub>, [Ag<sub>4</sub>M<sub>2</sub>S<sub>8</sub>](PPh<sub>3</sub>)<sub>4</sub><sup>[41,42]</sup>, [(MS<sub>4</sub>)<sub>2</sub>Cu<sub>4</sub>(S<sub>2</sub>CNC<sub>4</sub>H<sub>8</sub>)<sub>2</sub>]<sup>2-</sup>, [Cu<sub>4</sub>M<sub>2</sub>S<sub>6</sub>O<sub>2</sub> (PPh<sub>3</sub>)<sub>4</sub>]<sup>[43]</sup>, [Cu<sub>4</sub>M<sub>2</sub>S<sub>6</sub>{P(C<sub>7</sub>H<sub>7</sub>)<sub>3</sub>}<sub>4</sub>O<sub>2</sub>]和[Ċu<sub>4</sub>M<sub>2</sub>S<sub>6</sub>(PPh<sub>2</sub>Me)<sub>4</sub>O<sub>2</sub>].

### 5. 七核[二个 Mo(W), 五个 Cu(Ag)]

将二个有缺陷的立方单元[YMS<sub>3</sub>Cu<sub>2</sub>]和[YMS<sub>3</sub>Cu<sub>3</sub>](Y=S, O)桥联就形成了一系列七核簇合物(图 15)。有[M<sub>2</sub>Cu<sub>5</sub>S<sub>6</sub>(Et<sub>2</sub>NCS)<sub>3</sub>O<sub>2</sub>]<sup>2-</sup>, [M<sub>2</sub>Cu<sub>5</sub>S<sub>6</sub>(Me<sub>2</sub>dtc)<sub>3</sub>]<sup>2-</sup>, [Mo<sub>2</sub>Cu<sub>5</sub>S<sub>6</sub>O<sub>2</sub>(SCNEt<sub>2</sub>)<sub>3</sub>]<sup>2-</sup> • DMF,[M<sub>2</sub>Cu<sub>5</sub>S<sub>6</sub>O<sub>2</sub>(Me<sub>2</sub>dtc)<sub>3</sub>]<sup>2-[44]</sup>等化合物。

#### 6. 八核[二个 Mo(W), 六个 Cu(Ag)]

二个类立方单元[OMM' $_3$ S $_3$ ]通过 M'一配体键连结在一起,就形成了含二个 Mo(W)的八核 簇合物,这里的配体是包含硫的有机配体,且为三齿配体。骨架结构(如图 16)。簇合物有 [Mo $_2$ Cu $_6$ S $_6$ (SCH $_2$ CH $_2$ OH) $_2$ (O) $_2$ (PPh $_3$ ) $_4$ ]<sup>[45]</sup>,[Cu $_6$ S $_6$ W $_2$ (SCMe $_3$ ) $_2$ (O) $_2$ (PPh $_3$ ) $_4$ ]<sup>[24]</sup>及[Mo $_2$ Ag $_6$ S $_6$  (SCMe $_3$ ) $_2$ (O) $_2$ (PPh $_3$ ) $_4$ ]<sup>[19]</sup>。

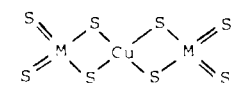


图 11 Fig.11

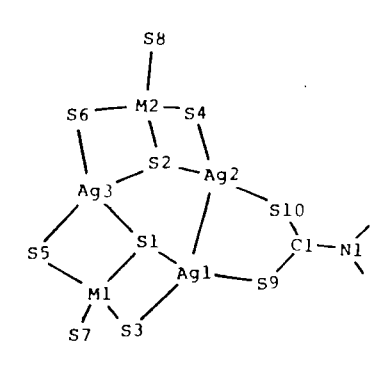


图 13 Fig.13

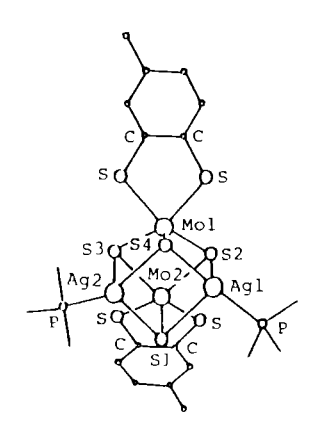


图 12 Fig.12

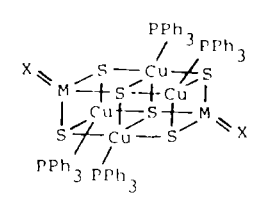
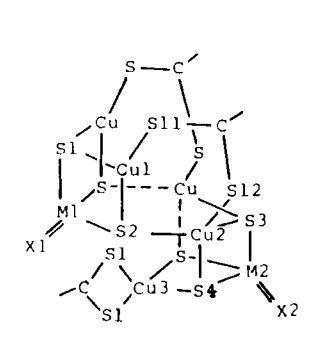


图 14 Fig.14



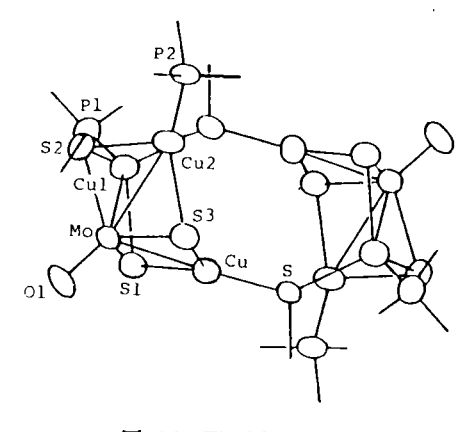


图 15 Fig.15

图 16 Fig.16

#### 三. 含多个 Mo(W)的 Mo(W)-Cu(Ag)-S 簇合物

1. 三个 Mo(W)的 Mo(W)-Cu(Ag)-S 簇合物

此类化合物仅有类立方烷[M<sub>3</sub>CuS<sub>4</sub>]骨架的四核簇合物:  $\{W_3CuS_4[S_2P(OC_2H_5)_2]_3(I)(\mu-CH_3COO)(C_5H_5N)\}$ ,  $\{Mo_3CuS_4[S_2P(OEt)_2]_3(I)(\mu-CH_3COO)(DMF)\}$ 和 $\{Mo_3CuS_4[S_2P(OC_2H_5)_2]_3(I)(\mu-CCI_3COO)(CH_3CN)\}^{[46]}$ , M 的表观氧化态为+5 价。 骨架结构见(图 17).

2. 六个 Mo(W)的 Mo(W)-Cu(Ag)-S 簇合物

六个 Mo 和两个 Cu 原子形成的八核簇合物是由两个 Mo<sub>3</sub>Cu 结合而成的双类立方烷结构。化合物是[( $H_2O$ )<sub>9</sub>Mo<sub>3</sub>S<sub>4</sub>CuCuS<sub>4</sub>Mo<sub>3</sub>( $H_2O$ )<sub>9</sub>]( $CH_3C_6H_5SO_3$ )<sub>8</sub> · 12 $H_2O$ <sup>[47]</sup>见(图 18)。Mo 的表观氧化态为 11 / 3,配位数为 6。

第二个化合物是由六个 Mo 和六个 Cu 原子形成的十二核簇合物[Et<sub>2</sub>N]<sub>2</sub>[( $\mu_6$ -S)Cu<sub>6</sub>S<sub>6</sub>(S<sub>2</sub>)<sub>6</sub> Mo<sub>6</sub>O<sub>6</sub>](DMF)<sup>[48]</sup>(如图 19). Mo 的表观氧化态为+5 价,配位数为 4,簇阳离子中心含有一个 $\mu_6$ -S 原子,它被 6 个 Cu 原子以变形八面体所包围。

3. 八个 Mo(W)的 Mo(W)—Cu(Ag)—S 簇合物

通过低热固相反应方法,合成了目前 Mo(W)—Cu(Ag)—S 类化合物的最大核数二十核簇合物[ $Bu_4N$ ]。 $_4[Mo_8Cu_{12}S_{32}]$ ,结构(如图 20)。其簇核可以认为是二十个金属原子有秩序的排列成类立方的金属笼,八个 Mo 原子位于立方体的八个顶点,十二个 Cu 原子位于十二条边的中点。Mo 的表观氧化态为+6 价,金属原子通过  $\mu_2$ –S,  $\mu_3$ –S 和  $\mu_4$ –S 连接起来。

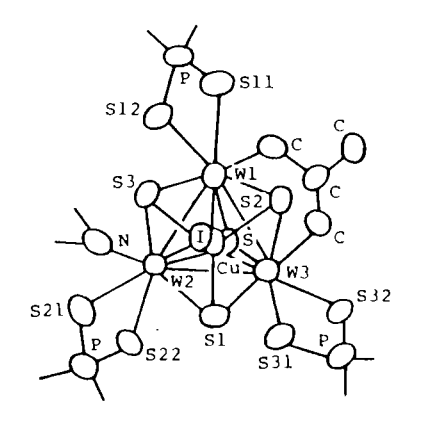


图 17 Fig.17

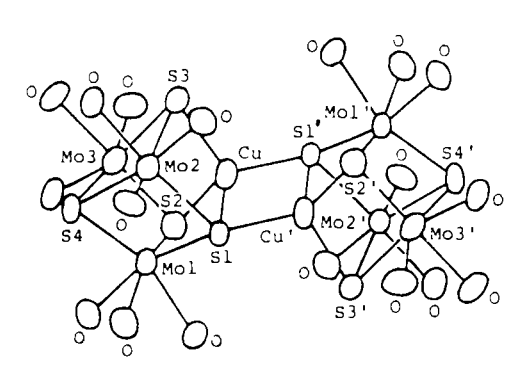
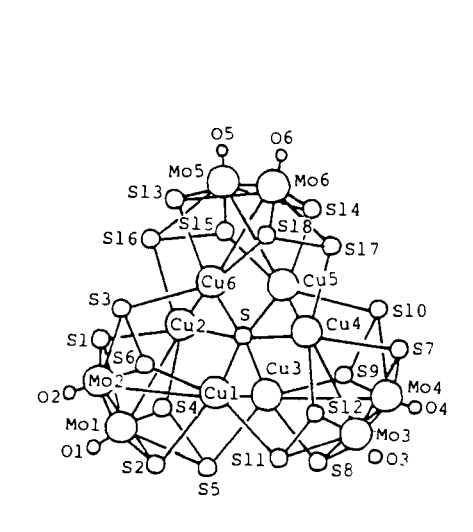


图 18 Fig.18



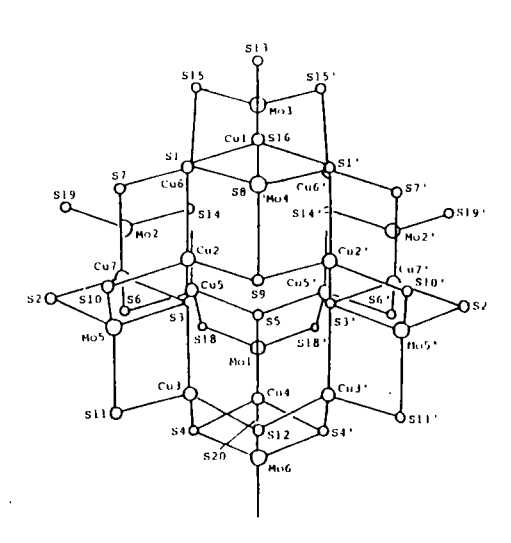


图 19 Fig.19

图 20 Fig.20

通过以上对 Mo(W)-Cu(Ag)-S 原子簇化合物的总结, 从中可得出几点启示:

- 1. 配位化合物中金属离子或原子为配位中心接受配体,而在 Mo(W)—Cu(Ag)—S 簇合物中,以  $MO_{4-1}S_{2}^{2-}$  作为配体中心,通过硫桥与 Cu(Ag)配位。
  - 2. MO4-0Sn 基团中,氧原子只作为端基,不参与同其他金属配位。
- 3. 每个  $MS_4$  基团有六个 S-S 边,每条边上只能结合一个 Cu(Ag)原子,因此六个 Cu(Ag)原子就使  $MS_4$  达到饱和,不能再直接结合另外的金属,即单个  $MS_4$  基团形成的簇合物最大核数为七。
- 4. 含  $MO_{4-n}S_n^{2-}$  基团的化合物中 M 的表观氧化态为+6 价,配位数为 4. 已知的+6 价 M 的 Mo(W)-Cu(Ag)-S 簇合物只有二核一八核及具有很完整构型的二十核,而九核一十九核以及二十核以上的簇合物还未见报道过。使用  $MO_{4-n}S_n^{2-}$  为原料合成新骨架结构估计很难进展,若能把含硫的有机配体加入到簇合物中去是条很好的思路。

含低价态 Mo(W)的 Mo(W)-Cu(Ag)-S 簇合物中 Mo(W)的配位数可高于 4. 因此,使用低价态的 Mo(W)代替+6 价的 Mo(W),有可能合成更多的新骨架结构的化合物。目前,已报道的含低价态 Mo(W)的簇合物有三核如[Mo<sub>2</sub>AgS<sub>4</sub>(S<sub>2</sub>C<sub>2</sub>H<sub>4</sub>)<sub>2</sub>(PPh<sub>3</sub>)]- · CH<sub>2</sub>Cl<sub>2</sub> [37],四核如 [Cp<sub>2</sub>Mo<sub>2</sub>Cu<sub>2</sub>Cl<sub>2</sub>S<sub>4</sub>]<sup>[39]</sup>,五核如[W<sub>2</sub>Ag<sub>3</sub>S<sub>8</sub>(C<sub>6</sub>H<sub>5</sub>CSS)]<sup>2-[40]</sup>,八核[(H<sub>2</sub>O)<sub>9</sub>Mo<sub>3</sub>S<sub>4</sub>CuCuS<sub>4</sub>Mo<sub>3</sub> (H<sub>2</sub>O)<sub>9</sub>](CH<sub>3</sub>C<sub>6</sub>H<sub>5</sub>SO<sub>3</sub>)<sub>8</sub> · 12H<sub>2</sub>O<sup>[47]</sup>及十二核[( $\mu_6$ -S)Cu<sub>6</sub>S<sub>6</sub>(S<sub>2</sub>)<sub>6</sub>Mo<sub>6</sub>O<sub>6</sub>]<sup>2-</sup> · DMF<sup>[48]</sup>。其中五核和十二核具有独特的结构。预计含低价态 Mo(W)的 Mo(W)-Cu(Ag)-S 簇合物将会有新的进展。

#### 参考 文献

- [1] Li Jiguo, Xin Xinquan, Zhou Zhongyuan, Yu Kaibei, J. Chem. Soc., Chem. Commun., 250(1991).
- [2] Lang J.P., Xin X.Q., J. Solid State Chem., 39, 4, 2, 349(1994).
- [3] 郎建平、鲍时安、忻新泉、蔡进华、康北笙, 高等学校化学学报, 14, 750(1993).
- [4] Chevrel, R., Segernt, M., Prigent, J., J. Solid State Chem., 3, 515(1971).

- [5] Xin, X. Q., Lang, J. P., Yu, K. B., Zhou, Z. Y., Chen, M. Q., Zheng, P. J., Cai, J. H., Kang, B. S., J. Inorg. Chem., 8(4), 472(1992).
- [6] Muller, A., Diemann, E., Jostes, R., Bogge, H., Angew. Chem. Ent. Ed. Engl., 20, 934(1981).
- [7] Sarkar, S., Mishra, S. B. S., Coord. Chem. Rev., 59, 239(1984).
- [8] Jeannin, Y., Secheresse, F., Bernes, S., Robert, F., Inorg. Chem. Acta, 198-200, 493(1992).
- [9] Muller, A., Dartmann, M., Romer, C., Clegg, W., Sheldrick, G. M., Angew. Chem. Int. Ed. Engl., 20, 1060(1981).
- [10] Minelli, M., Enemark, J. H., Nicholson, J. R., Garner, C. D., Inorg. Chem., 23, 4384(1984).
- [11] Lin Chichang, Zheng Zishan, J. Struct. Chem., 8(1), 50(1989).
- [12] Lang, J. P., Bao, S. A., Xin, X. Q., Yu, K. B., Polyhedron, 12, 801(1993).
- [13] Secheresse, F., Salis, M., Potvin, C., Maroll, J. M., Inorg. Chem. Acta, 114, 19(1986).
- [14] Potvin, C., Maroll, J. M., Secheresse, F., Marzak, S., Inorg. Chem., 26, 4370(1987).
- [15] Stalick, J. K., Sielde, A. R., Mighell, A. D., Hubbard, C. R., J. Am. Chem. Soc., 101, 2903(1979).
- [16] 金祥林、汤卡罗、童 亮、唐有祺, 中国科学, 11, 1136(1986).
- [17] Muller, A., Bogge, H., Tolle, H. G., Jostes, R., Shimanski, U., Dartmann, M., Angew. Chem. Int. Ed. Engl., 19, 654(1980).
- [18] Du, S. W., Zhu, N. Y., Chen, P. C., Wu, X. T., Lu, J. X., J. Chem. Soc., Dalton Trans., 339(1992).
- [19] Du, S. W., Zhu, N. Y., Chen, P. C., Wu, X. T., Polyhedron, 19, 2489(1992).
- [20] Beheshti, A., Garner, C. D., J. Sci. Islamic. Repub. Iran., 1(4), 270(1990).
- [21] Liu, J. N., Lei, X. J., Kang, B. S., Huang, Z. Y., Hong, M. C., J. Struct. Chem., 10(3), 196(1991).
- [22] Huang, Z. Y., Lei, X. J., Liu, J. N., Kang, B. S., Liu, Q. T., Hong, M. C., Liu, H. Q., Inorg. Chim. Acta, 169, 25(1990).
- [23] Manoli, J. M., Potvin, C., Secheresse, F., Marzak, S., Inorg. Chim. Acta, 150, 257(1988).
- [24] Du, S. W., Zhu, N. Y., Chen, P. C., Wu, X. T., Angew. Chem. Int. Ed. Engl., 8, 1085(1992).
- [25] Lang, J. P., Bao, S.A., Zhu, H. Z., Xin, X. Q., Yu, K. B., Chin. J. Chem., 11(2), 126(1993).
- [26] Lang, J. P., Zhu, H. Z., Xin, X. Q., Yu, K. B., Zhou, Z. Y., J. Struct. Chem., 11(4), 274(1992).
- [27] Lang, J. P., Bao, S. A., Zhu, H. Z., Xin, X. Q., Cai, J. H., Kang, B. S., Chin. J. Chem., 11(5),(1993).
- [28] Jeannin, Y., Secheresse, F., Bernes, S., Robert, F., Inorg. Chim. Acta. 69, 5(1983).
- [29] Wu, J. H., Zhu, N. Y., Du, S. W., Wu, X. T., Lu, J. X., Polyhedron, 11, 1201(1992).
- [30] Nicholson, J. R., Elood, A. C., Garner, C. D., Clegg, W., J. Chem. Soc., Chem. Commun., 1179(1983).
- [31] Secheresse, F., Bernes, S., Robert, F., Jeannin, Y., J. Chem. Soc., Dalton Trans., 2875(1991).
- [32] Manoli, J. M., Potvin, C., Secheresse, F., Marzak, S., J. Chem. Soc., Chem. Commun., 1557(1986).
- [33] Secheresse, F., Robert, F., Marzak, S., Manoli, J. M., Potvin, C., Inorg. Chim. Acta, 182, 221(1991).
- [34] Secheresse, F., Manoli, J. M., Potvin, C., Marzak, S., J. Chem. Soc., Dalton Trans., 3055(1988).

- [35] Lang, J.P., Zhou, W. Y., Xin, X. Q., Cai, J. H., Kang, B.S., Yu, K. B., *Polyhedron*, 12, 1647(1993).
- [36] Bernes, S., Secheresse, F., Jeannin, Y., Inorg. Chim. Acta, 191, 11(1991).
- [37] Zhu, N. Y., Wu, X. T., Lu, J. X., J. Chem. Soc., Chem. Commun., 235(1991).
- [38] Zhu, N. Y., Zheng, Y. F., Wu, X. T., J. Chem. Soc., Chem. Commun., 780(1990).
- [39] Henri, B., Roland, G., Joachim, W., Bernd, N., J. Organomet. Chem., 393(1), 119(1990).
- [40] 金祥林、倪海洪、汤卡罗、唐有祺, 高等学校化学学报, 6, 724(1992).
- [41] Muller, A., Bogger, H., Koniger-Ahlborn, E., Hellmenn, W., Inorg. Chem., 18, 2301(1979).
- [42] Muller, A., Bogge, H., Koniger-Ahlbron, E., J. Chem. Soc., Chem. Commun., 739(1978).
- [43] Muller, A., Bogge, H., Hwang, T., Inorg. Chim. Acta, 39, 73(1980).
- [44] Liu, H. Q., Cao, R., Lei, X. J., Wu, D. X., Wei, G. W., Huang, Z. Y., Hong, M. C., Kang. B. S., J. Chem. Soc., Dalton Trans., 1023(1990).
- [45] Du, S. W., Zhu, N. Y., Chen, P. C., Wu, X. T., Polyhedron, 19, 2495(1992).
- [46] Zhan, H. Q., Zheng, Y. F., Wu, X. T., Lu, J. X., J. Struct. Chem., 7(2), 157(1988).
- [47] Shibahara, T., Akashi, H., Kuroya, H., J. Am. Chem. Soc., 110, 3313(1988).
- [48] Wu, X. T., Wang, B., Zheng, Y. F., Lu, J. X., J. Struct. Chem., 7(1), 47(1988).

#### STUDIES OF Mo(W)-Cu(Ag)-S CLUSTER COMPOUNDS

Hou Hongwei Lang Jianping Li Jiguo Xin Xinquan (Department of Chemistry, State Key Laboratory of Coordination Chemistry, Nanjing University, Nanjing 210008)

On the basis of studying the low-heating solid state synthesis of Mo(W)-Cu(Ag)-S cluster compounds, we systematically classify this kind of clusters and propose several suggestions, which might be useful for further research.

- 1. In Mo(W)-Cu(Ag)-S clusters, MO<sub>4-8</sub>S<sub>2</sub>-can be regarded as coordination center.
- 2. Oxygen atoms only act as terminal group.
- 3. Single MS<sub>4</sub> moiety can form dinuclear, trinuclear, tetranuclear, pentanuclear, hexanuclear, heptanuclear step by step when it coordinates with Cu(Ag) atoms.
- 4. Using lower valence Mo(W), we may synthesize new framework clusters with higher nuclearity.

Keywords: Mo(W)-Cu(Ag)-S cluster